

e por

$$d_{ef} = d_{22} \cos^2\theta \cos 3\phi \quad (32)$$

sob condições (TIPO II) tais que as polarizações são ortogonais. Nestas expressões,  $\theta$  e  $\phi$  são, respectivamente, as <sup>expon.</sup>zenital e azimuthal do vetor de onda, com o eixo ótico colocado sobre a direção z.

- Equações de onda em um meio não-linear:

Retomando a eq. (6) do cap. I na ausência de correntes temos:

$$\vec{\nabla} \times (\vec{\nabla} \times \vec{E}) + \frac{1}{c^2} \frac{\partial^2 \vec{E}}{\partial t^2} = -\mu_0 \frac{\partial^2 \vec{P}}{\partial t^2}. \quad (33)$$

Para incluirmos os efeitos não-lineares na propagação do campo, faremos a decomposição:

$$\vec{P} = \vec{P}_L + \vec{P}_{NL}, \quad (34)$$

onde  $\vec{P}_L$  é a parte linear da polarização e  $\vec{P}_{NL}$  é a parte não-linear. Frequentemente, a dedução da eq. de onda feita na literatura usa a relação

tilibra

$$\vec{\nabla} \times (\vec{\nabla} \times \vec{E}) = \vec{\nabla}(\vec{\nabla} \cdot \vec{E}) - \nabla^2 \vec{E}, \quad (35)$$

e o fato de que  $\vec{\nabla} \cdot \vec{E} = 0$ . Contudo, comutamos que os efeitos de  $\chi^{(2)}$  só podem ocorrer em meios anisotrópicos, para os quais vimos no cap. I que  $\vec{\nabla} \cdot \vec{E} \neq 0$ . De fato, em um meio anisotrópico, a comp. linear da pol. não é // ao campo elétrico  $\vec{E}$ . Assim sendo, vamos proceder de outra forma.

Vamos começar ~~# f~~ supondo que o meio não-linear é iluminado por dois campos de frequências  $\omega_1$  e  $\omega_2$ , gerando um 3º campo de freq.  $\omega_3 = \omega_1 + \omega_2$  por um processo de mistura de ondas causado por  $\chi^{(2)}$ . Neste caso, podemos supor que

$$\vec{E}_{TOT} = \vec{E}^{(\omega_1)} + \vec{E}^{(\omega_2)} + \vec{E}^{(\omega_3)} \quad (36)$$

$$\vec{P}_{TOT}^{(2)} = \vec{P}^{(\omega_1 + \omega_2)} + \vec{P}^{(\omega_3 - \omega_1)} + \vec{P}^{(\omega_3 - \omega_2)}.$$

(Os campos interagentes são da forma

$$\vec{E}(\omega_i) = \vec{E}_i(\vec{r}) e^{-i\omega_i t} \quad (37)$$

Ao substituirmos (36) em (33) devemos considerar que esta última deve ser satisfeita independentemente para cada frequência. Neste caso, teremos para cada uma das freqs. envolvidas:

$$\vec{\nabla} \times (\vec{\nabla} \times \vec{E}_1) - \frac{\omega_1^2}{c^2} \vec{E}_1 = +\mu_0 \omega_1^2 \left[ \chi^{(1)} \vec{E}_1 + \vec{P}^{(2)} (\omega_1 = \omega_3 - \omega_2) \right]$$

$$\vec{\nabla} \times (\vec{\nabla} \times \vec{E}_2) - \frac{\omega_2^2}{c^2} \vec{E}_2 = +\mu_0 \omega_2^2 \left[ \chi^{(1)} \vec{E}_2 + \vec{P}^{(2)} (\omega_2 = \omega_3 - \omega_1) \right]$$

$$\vec{\nabla} \times (\vec{\nabla} \times \vec{E}_3) - \frac{\omega_3^2}{c^2} \vec{E}_3 = +\mu_0 \omega_3^2 \left[ \chi^{(1)} \vec{E}_3 + \vec{P}^{(2)} (\omega_3 = \omega_1 + \omega_2) \right]$$

(38)

As eqs. (38) nos dizem que os campos de freqs.  $\omega_1$ ,  $\omega_2$  e  $\omega_3$  se propagam pelo meio não-linear sob a influência uns dos outros através das contribuições da polarização não-linear. Para resolvermos estas eqs. supomos que os três campos envolvidos são da forma

$$\vec{E}_i(\vec{r}, t) = A_i(\vec{r}) \vec{\Psi}_i(\vec{r}, t), \quad (39)$$

onde  $\vec{k}_i$  dá as direções de propagação dos campos e  $\vec{\Psi}_i(\vec{r}, t)$  são ondas planas de amplitude unitária:

$$\vec{\Psi}_i(\vec{r}, t) = \hat{e}_i e^{i(\vec{k}_i \cdot \vec{r} - \omega_i t)} \quad (40)$$

Os unitários  $\hat{e}_i$  dão as direções de polarizações de cada feixe. Assim, resta substituirmos (39) e (40) em (38). Uma vez que os três campos interagentes devem evoluir trocando energia ao longo do meio não-tíbia

linear, as amplitudes  $A_1$ ,  $A_2$  e  $A_3$  dependem de  $\vec{r}$ . Nesse principal objetivo é determinar a evolução destas amplitudes.

Vamos inicialmente desenvolver o termo  $\vec{\nabla} \times (\vec{\nabla} \times \vec{E})$ :

$$\vec{\nabla} \times \vec{E} = \vec{\nabla} \times [A(\vec{r}) \vec{\varphi}] = A(\vec{r}) \vec{\nabla} \times \vec{\varphi} + \vec{\nabla} A \times \vec{\varphi}$$

$$\vec{\nabla} \times (\vec{\nabla} \times \vec{E}) = A(\vec{r}) \vec{\nabla} \times (\vec{\nabla} \times \vec{\varphi}) + \vec{\nabla} A \times (\vec{\nabla} \times \vec{\varphi}) +$$

$$\vec{\nabla} \times (\vec{\nabla} A \times \vec{\varphi})$$

Mas,

$$\vec{\nabla} \times \vec{\varphi} = i \vec{k} \times \vec{\varphi}, \quad \vec{\nabla} \times (\vec{\nabla} \times \vec{\varphi}) = -\vec{k} \times (\vec{k} \times \vec{\varphi})$$

$$\vec{\nabla} A \times (\vec{\nabla} \times \vec{\varphi}) = i \vec{\nabla} A \times (\vec{k} \times \vec{\varphi}) = i [(\vec{\nabla} A \cdot \vec{\varphi}) \vec{k} - (\vec{\nabla} A \cdot \vec{k}) \vec{\varphi}]$$

$$\vec{\nabla} \times (\vec{\nabla} A \times \vec{\varphi}) = (\vec{\varphi} \cdot \vec{\nabla}) \vec{\nabla} A - (\vec{\nabla} A \cdot \vec{\nabla}) \vec{\varphi} + (\vec{\nabla} \cdot \vec{\varphi}) \vec{\nabla} A - (\vec{\nabla}^2 A) \vec{\varphi}$$

$$(\vec{\nabla} A \cdot \vec{\nabla}) \vec{\varphi} = i (\vec{k} \cdot \vec{\nabla} A) \vec{\varphi} \quad e \quad (\vec{\nabla} \cdot \vec{\varphi}) = i \vec{k} \cdot \vec{\varphi}$$

Por enquanto, iremos supor que  $A(\vec{r})$  varia apenas ao longo de  $\vec{k}$  e que esta variação seja lenta e suficiente, isto é, que  $A(\vec{r})$  varia pouco sobre um comprimento de onda  $\lambda$ , de modo que:

$$\partial_k^2 A \ll k \partial_k A \quad (41)$$

$$\textcircled{4} \quad (\partial_{\perp} A = 0)$$

O que nos leva a

$$(\vec{q} \cdot \vec{\nabla}) \vec{\nabla} A \ll (\vec{k} \cdot \vec{\nabla} A) \vec{q} \text{ e } (\vec{k} \cdot \vec{q}) \vec{\nabla} A \quad (42)$$

Neste caso,

$$\vec{\nabla} \times (\vec{\nabla} A \times \vec{q}) \approx i [(\vec{k} \cdot \vec{q}) \vec{\nabla} A - (\vec{k} \cdot \vec{\nabla} A) \vec{q}] \quad (43)$$

Observação: Se quisermos estudar efeitos espaciais como difração, focalização e defocalização, etc..., temos que manter as derivadas transversais de  $A$ . Isto será fundamental para descrevermos, por exemplo, processos de transferência de imagens entre os campos interagentes.

Finalmente, das considerações acima, chegamos a:

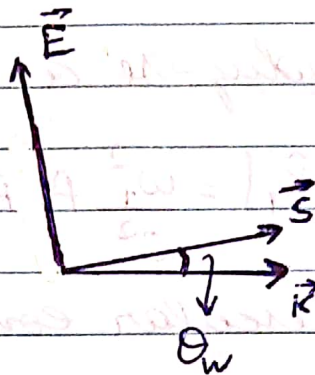
$$\begin{aligned} \vec{\nabla} \times (\vec{\nabla} \times \vec{E}) &\approx -A(\vec{r}) \vec{k} \times (\vec{k} \times \vec{q}) - 2i(\vec{k} \cdot \vec{\nabla} A) \vec{q} + \\ &i(\vec{k} \cdot \vec{q}) \vec{\nabla} A + i(\vec{\nabla} A \cdot \vec{q}) \vec{k} \end{aligned} \quad (44)$$

Vamos discutir os dois últimos termos de (43). Como, por hipótese,  $A(\vec{r})$  varia apenas ao longo de  $\vec{k}$ , temos que  $\vec{\nabla} A = \partial_k A \hat{k}$  e

$$\begin{aligned} i[(\vec{k} \cdot \vec{q}) \vec{\nabla} A + (\vec{\nabla} A \cdot \vec{q}) \vec{k}] &= 2i k \partial_k A (\vec{k} \cdot \vec{q}) \hat{k} = \\ &2ik \partial_k A e^{i(\vec{k} \cdot \vec{r} - \omega t)} (\hat{k} \cdot \hat{e}) \hat{k} \end{aligned} \quad (45)$$

Em meios isotrópicos  $\vec{k} \perp \vec{E}$  e, portanto,  $\vec{k} \cdot \vec{\varphi} = 0$ .

Em um meio anisotrópico uniaxial, a onda ordinária também possui  $\vec{k} \perp \vec{E}$ . Contudo, para a onda extraordinária temos a seguinte geometria:



onde  $\theta_w$  é o ângulo de walk-off dado pela eq. (28) do cap. I. Portanto, é fácil ver que:

$$\vec{k} \cdot \vec{\varphi} = \cos(\theta_w + \pi/2) = -\sin \theta_w. \quad (46)$$

Diante das conclusões acima, podemos rever a 1ª das eqs. (38) de modo que:

(OBS:  $\mu_0 \epsilon_0 = 1/c^2$ )

$$-A_1(\vec{r}) \left[ \vec{k}_1 \times (\vec{k}_1 \times \vec{\varphi}_1) + \frac{\omega_1^2}{c^2} (1 + \chi_{(w_1)}^{(1)}) \vec{\varphi}_1 \right] - \quad (47)$$

$$2ik_1 \partial_{k_1} A_1 \left[ \vec{\varphi}_1 - (\vec{k}_1 \cdot \vec{\varphi}_1) \vec{k}_1 \right] = \frac{\omega_1^2}{c^2} \cdot \frac{1}{\epsilon_0} P \quad (w_1 = w_3 - w_2)$$

O 1º termo entre colchetes se anula qdo.  $\vec{\varphi}_1$  for uma solução da eq. (7B) do cap. I. Assim, os principais efeitos da anisotropia do cristal

recaem sobre o termo de onda plana  $\vec{\Phi}$ .

Além disso, a polarização não-linear de freq.  $\omega_1$  é dada por:

$$P^{(2)}(\omega_1 = \omega_3 - \omega_2) = \epsilon_0 \chi^{(2)} \vec{E}_3 \vec{E}_2^* = \epsilon_0 A_3 A_2^* \chi^{(2)} \vec{\Phi}_3 \vec{\Phi}_2^*$$

Assim a eq. (47) reduz-se a

$$-2iK_1 \partial_{K_1} A_1 [\vec{\Phi}_1 - (\hat{K}_1 \cdot \vec{\Phi}_1) \hat{K}_1] = \frac{\omega_1^2}{c^2} A_3 A_2^* \chi^{(2)} \vec{\Phi}_3 \vec{\Phi}_2^*$$

Fazendo o produto escalar com  $\vec{\Phi}_1^*$  obtemos

$$-2iK_1 \cos^2 \theta_{\omega_1} \partial_{K_1} A_1 = \frac{\omega_1^2}{c^2} A_3 A_2^* e^{i(\vec{K}_3 - \vec{K}_2 - \vec{K}_1) \cdot \vec{r}}$$

$$\left[ \chi_{ijk}^{(2)} e_{1i} e_{2j} e_{3k} \right]$$

$$(47) \quad \text{LHS} = (\omega_3 + \omega_2) \cos^2 \theta = S$$

Definindo  $\Delta \vec{K} = \vec{K}_1 + \vec{K}_2 - \vec{K}_3$ , fazendo  $K_1 = n_1 \omega_1 / c$ , onde  $n_1$  é o índice de refração correspondente à freq. e polarização de  $\vec{E}(\omega_1)$ , e  $\chi = \chi_{ijk}^{(2)} e_{1i} e_{2j} e_{3k}$ , obtemos:

$$-2i \cos^2 \theta_{\omega_1} \partial_{K_1} A_1 = \frac{\omega_1 \chi}{n_1 c} A_3 A_2^* e^{-i \Delta \vec{K} \cdot \vec{r}} \quad (48)$$

O mesmo procedimento fornece para os campos  $\vec{E}(\omega_2)$  e  $\vec{E}(\omega_3)$  as seguintes eqs:

$$-2i \cos^2 \theta_{w_2} \partial_{k_2} A_2 = \frac{\omega_2 \chi}{n_2 c} A_3 A_1^* e^{-i \vec{k}_2 \cdot \vec{r}} \quad (49)$$

$$-2i \cos^2 \theta_{w_3} \partial_{k_3} A_3 = \frac{\omega_3 \chi}{n_3 c} A_1 A_2^* e^{i \vec{k}_3 \cdot \vec{r}} \quad (50)$$

Nas eqs. (48) - (50) usamos implicitamente a propriedade de simetria completa, de modo que:

$$\chi_{ijk} e_{1i} e_{2j} e_{3k} = \chi_{ijk} e_{2i} e_{3j} e_{1k} = \chi_{ijk} e_{3i} e_{1j} e_{2k} = \chi \quad (51)$$

As eqs. (48) - (50), juntamente com suas respectivas complexo-conjugadas, governam a evolução dos campos interagentes no meio não-linear.

- Geometria colinear:

Suponhamos que os três vetores de onda  $\vec{k}_1$ ,  $\vec{k}_2$  e  $\vec{k}_3$  sejam colineares e designemos por  $z$  a direção de propagação comum aos três campos. Suponhamos ainda que a geometria do sistema seja otimizada de forma a minimizar o ruult-off, de modo que  $\cos \theta_w \sim 1$  para os três campos envolvidos. Neste caso as eqs. (48) - (50) ficam